

СВЕРХПРОВОДЯЩИЕ ИНТЕРФЕРЕНЦИОННЫЕ МАГНИТОМЕТРЫ  
И МАГНИТНЫЕ ЭКРАНЫ ИЗ КЕРАМИКИ  $YBa_2Ca_3O_7$ ,  
РАБОТАЮЩИЕ ПРИ АЗОТНЫХ ТЕМПЕРАТУРАХ

В.Н. Заваричкий, Н.В. Заваричкий

Приборы для измерения малых напряжений и малых изменений магнитного поля, основанные на эффекте Джозефсона, как известно, не только не уступают, но и превосходят многие из существующих приборов другого типа [1]. Однако до последнего времени возможности применения таких приборов были ограничены из-за необходимости использования низких температур (ниже 9К). Открытие сверхпроводников с  $T_c = 90$  К позволило существенно расширить диапазон использования приборов на основе слабой сверхпроводимости. Ранее нами был описан сверхпроводящий интерферометр (ВЧ-СКВИД), работающий при азотных температурах [2]. В настоящей работе сообщаются результаты исследования характеристик этого прибора с точки зрения использования его в качестве магнитометра и описано первое применение его при изучении характеристик сверхпроводящих магнитных экранов из  $YBa_2Cu_3O_7$ -керамики при 77 К.

Чувствительным элементом интерферометра являлся мостик из керамики размерами  $\sim (10^{-2} \text{ см})^2$ . Хотя геометрические размеры мостикаказалось бы допускали "размещение" в нем сотен слабых мест и (как следствие) самоусреднение всех интерференционных эффектов, изучение уединенных мостиков в микроволновом поле (25–40) ГГц показало, что их характеристики подобны одиночному переходу Джозефсона; в частности, положение индуцированных микроволновым излучением ступенек тока совпало с расчетным с точностью  $3 \cdot 10^{-4}$  [3]. Площадь  $S$  отверстия для катушки ВЧ-контура составляла  $(1.5 \cdot 10^{-1} \text{ см})^2$ . Измерения проводились со стандартной СКИМП-аппаратурой [1] при 77 К.

По своим характеристикам прибор оказался подобным № ВЧ-СКВИД'у с точечным контактом. Созданные магнитометры выдерживают многократное термоциклирование и обладают стабильными в течение длительного времени (до восьми месяцев) характеристиками.

Изучены характеристики магнитометров как в геометрии кольца со слабым звеном – с непосредственным измерением внешнего поля, так и "двухдырочных приборов", чувствительность которых к внешнему полю обусловлена эффектами "провисания" поля и различием в площадях отверстий. По сравнению с "однодырочным" прибором, чувствительность таких магнитометров с отношением отверстий (1.8–3.5) загрубляется в (100–10) раз соответственно. На рис. 1 представлена зависимость этого уменьшения (K) чувствительности к однородному внешнему полю от величины отношения площадей отверстий. За единицу приняты параметры приборов в геометрии кольца со слабым звеном, период сигнальных характеристик которых  $\sim 10^{-5}$  Гс совпадал с расчетной величиной кванта потока  $\Phi_0$  через

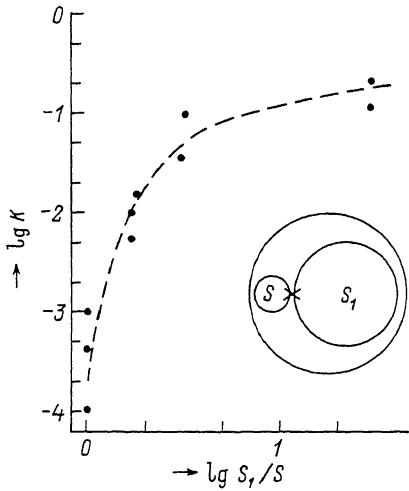


Рис. 1. Зависимость ослабления чувствительности к внешнему полю „двуходырочного“ интерферометра от величины отношения площадей отверстий. За единицу приняты параметры магнитометра в геометрии кольца со слабым звеном.

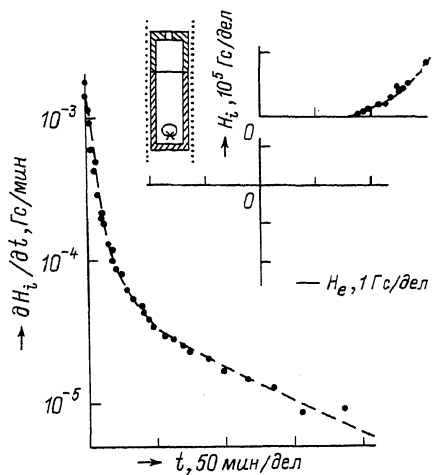
отверстие кольца. Предельная чувствительность интерференционного магнитометра в этих опытах ограничивалась шумами, возможно связанными с недостаточной помехозащищенностью установки, и составляла  $(2-5) \cdot 10^{-8}$  Гс.

Очевидно, что порог чувствительности прибора к внешнему полю не превышает  $5 \cdot 10^{-9}$  Гс, поскольку в опытах с двухходырочными приборами с  $S_1 = (2 \cdot 10^{-1} \text{ см})^2$ , характеризующимися большей помехозащищенностью (рис. 1), удавалось достигать чувствительности  $(5-7) \cdot 10^{-4}$  Ф<sub>0</sub> по сигналу постоянного тока в катушку возбуждения.

„Двуходырочный“ интерферометр позволяет проводить исследования магнитных характеристик образцов, помещенных в большее отверстие прибора. В таких опытах экранировка прибора от внешних полей может быть обеспечена сверхпроводящим экраном. Известно лишь несколько измерений характеристик экранов из  $YBa_2Cu_3O_7$ -керамики [4, 5], однако в этих работах чувствительность не превышала  $2 \cdot 10^{-3}$  Гс. Ниже приводятся результаты исследования магнитных экранов из керамики, изготовленных в форме стаканчика (подробно [4]) с размерами: внутренний диаметр 10 мм, высота 35 мм, толщина стенок и дна 1.5–2 мм. Поле внутри экрана измерялось вышеописанным интерференционным магнитометром, расположенным в 5 мм от дна экрана. Для ослабления эффектов „провисания“ поля открытый конец экрана закрывался крышкой (как показано на врезке к рис. 2) высотой 15 мм; в дне крышки имелось отверстие диаметром 1.5 мм для проводов ВЧ-контура. Магнитное поле создавалось длинным (140 мм) соленоидом. Типичные зависимости измеренного магнитометром поля внутри экрана ( $H_i$ ) от внешнего магнитного поля ( $H_e$ ) приведены на врезке к рис. 2. Пунктирная кривая проведена по результатам измерений в переменном поле (0.1 Гц), сплошная – в постоянном. Из приведенных экспериментальных результатов следует, что поле внутри экрана сохраняет свою величину с точностью не хуже  $10^{-7}$  Гс при изменении внешнего поля на (1–9) Гс (по четырем экранам). Следует отметить, что в случае экрана без крышки, „провисание“ внешнего поля в экран

Рис. 2. Характеристики сверхпроводящего магнитного экрана из керамики, определенные с помощью интерференционного магнитометра ( $T = 78$  К).

Врезка справа: геометрия опыта; зависимости поля  $H_i$  внутри экрана от внешнего поля  $H_e$ , постоянного и переменного с частотой 0.1 Гц – сплошная и пунктируемые кривые соответственно. Слева: ( $dH_i/dt - t$ ) зависимость в постоянном внешнем поле, превышающем поле полной экранировки.



приводит к уменьшению коэффициента экранирования в ( $10^2$ – $10^3$ ) раз в поле (1–3) Гс.

В магнитных полях, превыша-

ющих поле полной экранировки, наблюдается проникновение поля внутри экрана, характеризующееся сложными временными зависимостями (рис. 2). В зависимости от величины внешнего поля, время достижения стационарного значения  $H_i$  изменялось и достигало 300 мин в поле 4 Гс (для экрана, характеристики которого приведены на рисунке). По прошествии этого времени изменение  $H_i$  было меньше  $10^{-7}$  Гс/мин. Установившееся стационарное значение поля  $H_i$  сохраняло свою величину при последующем уменьшении внешнего поля на (1–9) Гс (см. врезку к рис. 2).

Полученные данные показывают возможности использования азотного СКВИД, а как в измерениях внешнего магнитного поля, так и в магнитных исследованиях, когда объект исследования расположен в большем отверстии интерферометра и отделен от внешних магнитных полей сверхпроводящим экраном.

#### Л и т е р а т у р а

- [1] Лихарев К.К., Ульрих Б.Т. Системы с джозефсоновскими контактами. М.: МГУ, 1978; Волков А.Ф., Заваричкий Н.В., Надь Ф.Я. Электронные устройства на основе слабосвязанных сверхпроводников. М.: Сов. радио, 1978.
- [2] Заваричкий Н.В., Заваричкий В.Н., Петров С.В. – Письма в ЖЭТФ, 1987, т. 46, в. 11, с. 469–471.
- [3] Заваричкий Н.В., Заваричкий В.Н. – Письма в ЖЭТФ, 1988, т. 47, в. 7, стр. 334–337.

- [4] Введенский В.Л., Грабой И.Э., Кауль А.Р.-  
В сб. Сверхпроводимость вып. 1. М.: ЦНИИатоминформ, 1987,  
с. 78-85.
- [5] Тюканов Е., Cline R.W.,  
Kralin P. - Phys. Rev. B, 1987,  
v. 36, N 13, p. 7244-7247.

Институт общей физики  
АН СССР, Москва

Письма в ЖТФ, том 14, вып. 19 12 октября 1988 г.

## ОСОБЕННОСТИ ПОВЕРХНОСТИ АРСЕНИДА ГАЛЛИЯ, ВЫРАЩЕННОГО ИЗ ВИСМУТОВОГО РАСТВОРА-РАСПЛАВА

А.А. Аристархова, Ю.Ф. Бирюлин,  
С.С. Волков, С.В. Новиков,  
М.Ю. Тимашев, Ю.В. Шмарцев

Влияние изовалентного легирования арсенида галлия висмутом на электрофизические и люминесцентные характеристики материала изучено достаточно подробно [1-5], но оно касалось в основном его объемных свойств. При этом было установлено, что вследствие чересчур малой растворимости висмута, он входит в арсенид галлия в концентрациях, не превышающих  $10^{18} \text{ см}^{-3}$  [2].

В процессе исследований было замечено существенное различие поверхностных свойств арсенида галлия, выращенного из растворов-расплавов в висмуте  $\text{GaAs}\langle\text{Bi}\rangle$  и галлии  $\text{GaAs}\langle\text{Ga}\rangle$  (иной внешний вид поверхности, отклонение в скорости травления и т.п.). Напрашивался вывод о различии и в элементном (химическом) составе поверхности  $\text{GaAs}\langle\text{Bi}\rangle$  по сравнению с  $\text{GaAs}\langle\text{Ga}\rangle$ .

В данной работе изложены результаты исследования поверхности (50-100 Å) арсенида галлия, выращенного из галлиевого и висмутового растворов-расплавов.

Исследовавшиеся образцы арсенида галлия были получены методом жидкофазной эпитаксии с понижением температуры по стандартной технологии [5]. Толщины слоев  $\text{GaAs}\langle\text{Bi}\rangle$  и  $\text{GaAs}\langle\text{Ga}\rangle$  составляли соответственно 3-5 мкм и 20-30 мкм.

Концентрация свободных электронов в эпитаксиальных слоях  $\text{GaAs}\langle\text{Bi}\rangle$  была на полтора порядка ниже соответствующего значения для образцов  $\text{GaAs}\langle\text{Ga}\rangle$ , полученных в идентичных условиях. При этом доминирующим мелким акцептором являлся  $\text{Ga}_{\text{As}}$ , а основными мелкими донорами: сера  $\text{S}_{\text{As}}$  (в случае галлиевого растворителя) и олово  $\text{Sn}_{\text{Ga}}$  (висмутовый растворитель) [5]. Низкотемпературные спектры фотoluminesценции (ФЛ)  $\text{GaAs}\langle\text{Bi}\rangle$  и  $\text{GaAs}\langle\text{Ga}\rangle$  совпадали по энергетическому положению краевых линий ФЛ друг с другом и со спектрами высокочистых эпитаксиаль-